

การสังเคราะห์อนุพันธ์ด้วยก้อนกรีบของเรา



นางสาว ชฎาพร ถาวรพาณิชกิจ

ศูนย์วิทยทรัพยากร มหาลัยครุศาสตร์มหาวิทยาลัย

วิทยานิพนธ์นี้ เป็นส่วนหนึ่งของการศึกษาตามหลักสูตรปริญญาวิทยาศาสตร์มหาวิทยาลัย

ภาควิชา เคมี

บัณฑิตวิทยาลัย จุฬาลงกรณ์มหาวิทยาลัย

พ.ศ. 2533

ISBN 974-578-276-9

ลิขสิทธิ์ของบัณฑิตวิทยาลัย จุฬาลงกรณ์มหาวิทยาลัย

017926 ๑๗๙๔๕๘๗๐

SYNTHESIS OF ORGANOTINBORATE DERIVATIVES

Miss Chadaporn Thavornpanichkij

ศูนย์วิทยบรพยากร
จุฬาลงกรณ์มหาวิทยาลัย
A Thesis Submitted in Partial Fulfillment of the Requirements
for the Degree of Master of Science

Department of Chemistry

Graduate school

Chulalongkorn University

1990

ISBN 974-578-276-9



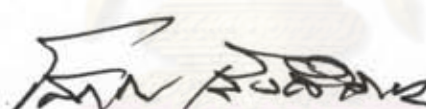
หัวขอวิทยานิพนธ์ การสังเคราะห์อนุพันธ์ดีบุกอินเกรย์ของเรา
โดย นางสาวชฎาพร ถาวรวนานิชกิจ
สาขาวิชา อินเกรย์เคมี
อาจารย์ที่ปรึกษา ผู้ช่วยศาสตราจารย์ ดร. อมรา เพชรสุม

บันทึกวิทยาลัย จุฬาลงกรณ์มหาวิทยาลัย อนุมัติให้วิทยานิพนธ์ฉบับนี้เป็นส่วนหนึ่งของ
การศึกษาตามหลักสูตรปริญญามหาบัณฑิต

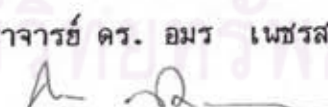

(ศาสตราจารย์ ดร. ถาวร วัชรนกิจ)

คณบดีบันทึกวิทยาลัย

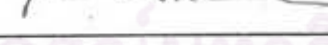
กรรมการสอบวิทยานิพนธ์


(รองศาสตราจารย์ ดร. siswan reungsa-avihingsanon)

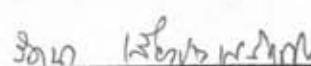
ประธานกรรมการ


(ผู้ช่วยศาสตราจารย์ ดร. อมรา เพชรสุม)

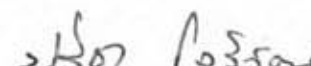
อาจารย์ที่ปรึกษา


(ผู้ช่วยศาสตราจารย์ ดร. ช้านา ภัทรพานิช)

กรรมการ


(ผู้ช่วยศาสตราจารย์ ดร. รัตนา เลืองประเสริฐกิจ)

กรรมการ


(อาจารย์ ดร. ปรีชา ใจวิวัฒนชัย)

กรรมการ



สารบัญ

	หน้า
บทคัดย่อภาษาไทย.....	ก
บทคัดย่อภาษาอังกฤษ.....	ก
กิจกรรมประการ.....	ค
รายการตารางประกอบ.....	ง
รายการรูปประกอบ.....	ง
คำอธิบายลักษณะและคัดย่อ.....	ฉ
บทที่	
1. บทนำและทฤษฎี	
1.1 บทนำ.....	1
1.2 ทฤษฎี.....	8
2. อุปกรณ์และวิธีการทดลอง.....	32
2.1 เครื่องมือที่ใช้ในการทดลอง.....	32
2.2 สารเคมีที่ใช้ในการทดลอง.....	32
2.3 วิธีการทดลอง.....	33
2.3.1 การสังเคราะห์อนุพันธ์ดีบุกอินทรีย์บนเรโทรเจค Ph ₃ SnOH กับ B(OH) ₃ ในอัตราส่วนจำนวนโมล 1:1	33
2.3.2 การสังเคราะห์อนุพันธ์ดีบุกอินทรีย์บนเรtroเจค TBTO กับ B(OH) ₃ ในอัตราส่วนจำนวนโมล 1:1	34
2.3.3 การสังเคราะห์อนุพันธ์ดีบุกอินทรีย์บนเรtroเจค Bu ₂ SnO กับ B(OH) ₃ ในอัตราส่วนจำนวนโมล 1:1	35
2.3.4 การสังเคราะห์อนุพันธ์ดีบุกอินทรีย์บนเรtroเจค Oc ₂ SnO กับ B(OH) ₃ ในอัตราส่วนจำนวนโมล 1:1	36
2.3.5 การสังเคราะห์อนุพันธ์ดีบุกอินทรีย์บนเรtroเจค (Bu ₂ SnHexSnBu ₂ -) ₂ -O กับ B(OH) ₃ ในอัตราส่วนจำนวนโมล 1:1	37

สารบัญ (ต่อ)

	หน้า
2.3.6 การสังเคราะห์อนุพันธ์ดีบุกอินทรีย์บอเรียมจาก $(Bu_2SnBuSnBu_2^-)_2O$ กับ $B(OH)_3$ ในอัตราส่วน จำนวนโมล 1:1	38
3. ผลการทดลองและการวิเคราะห์ผล.....	39
3.1 คุณสมบัติทางกายภาพ.....	39
3.2 การพิสูจน์โดยการหาปริมาณสาร.....	39
3.3 การพิสูจน์เอกลักษณ์ด้วยอินฟราเรดスペกตรัม.....	50
3.4 การพิสูจน์เอกลักษณ์โดยใช้ 1H , ^{13}C , ^{119}Sn และ ^{11}B NMR.....	64
3.5 การพิสูจน์เอกลักษณ์โดยใช้แมสสเปกโตรสโคป.....	75
3.6 การวิเคราะห์ผล.....	77
4. ส្តूปผลการทดลองและข้อเสนอแนะ.....	89
4.1 ส្តूปผลการทดลอง.....	89
4.2 ข้อเสนอแนะ.....	91
เอกสารอ้างอิง.....	92
ภาคผนวก.....	95
ก. อินฟราเรดスペกตรัมของสารประกอบอนุพันธ์ดีบุกอินทรีย์บอเรียม.....	96
ข. 1H NMR สเปกตรัมของสารประกอบอนุพันธ์ดีบุกอินทรีย์บอเรียม.....	130
ค. ^{13}C NMR สเปกตรัมของสารประกอบอนุพันธ์ดีบุกอินทรีย์บอเรียม.....	130
ง. ^{119}Sn NMR สเปกตรัมของสารประกอบอนุพันธ์ดีบุกอินทรีย์บอเรียม.....	158
จ. ^{11}B NMR สเปกตรัมของสารประกอบอนุพันธ์ดีบุกอินทรีย์บอเรียม.....	158
ฉ. แมสสเปกตรัมของสารประกอบอนุพันธ์ดีบุกอินทรีย์บอเรียม.....	175
ช. เอ็กซ์เรย์ ดิมแพรกันน์ สเปกตรัมของสารประกอบอนุพันธ์ ดีบุกอินทรีย์บอเรียม.....	178
ประวัติผู้เขียน.....	180



ชื่อผู้ อาจารย์นิพัทธิ์ : การสังเคราะห์อนุพันธ์ดินกอินทรีบอร์บอร์ต (SYNTHESIS OF ORGANOTINBORATE DERIVATIVES). อ.ที่ปรึกษา : พศ.ดร.อมร เพชรสุม,
180 หน้า.

สังเคราะห์สารประกอบดินกอินทรีบอร์ต คือ ทริส-(ไตรแอลคลิทิน) บอร์ต, บิส-(ไตรแอลคลิทิน) บอร์ต และ ไตรแอลคลิทิน บอร์ต จากปฏิกิริยาเอสเทอโรฟิโนะชั้นระหว่างสารประกอบดินกอินทรีที่เป็น ไตรเรโนเจนิทิน ไซด์โรกไชด์ (Ph_3SnOH) และ/หรือ บิส-(ไตรบิวทิลทิน) ออกไซด์ (TBTO) กับ กรรมบอริก $\text{B}(\text{OH})_3$ ในอัตราส่วนจำนวนโมลต่าง ๆ กัน และ สังเคราะห์สารประกอบอนุพันธ์ดินกอินทรีบอร์ต คือ ทริส-(ไดแอลคลิทิน) ไดบอร์ต, ไดแอลคลิทิน ไดบอร์ต และ ไดแอลคลิทิน บอร์ต จากปฏิกิริยาเอสเทอโรฟิโนะชั้นระหว่างสารประกอบดินกอินทรีที่เป็น ไดแอลคลิทิน ออกไซด์ (R_2SnO) โดยที่ $\text{R} = \text{หมู่บิวทิล-}$ และ/หรือ หมู่ออกทิล- กับ กรรมบอริก ในอัตราส่วนจำนวนโมลต่าง ๆ กัน และสังเคราะห์ บิส-(แอลคาเทกระบิวทิลไดทิน) ไดบอร์ต, ไดไซด์โรกไชด์ ของ บิส-(แอลคาเทกระบิวทิลไดทิน) ไดบอร์ต และ แอลคาเทกระบิวทิลไดทิน บอร์ต จากปฏิกิริยาเอสเทอโรฟิโนะชั้น ระหว่างสารประกอบดินกอินทรีที่เป็น บิส-(แอลคลิลลีน-เทกระบิวทิลไดทิน) ออกไซด์ กับกรรมบอริก ในอัตราส่วนจำนวนโมลต่าง ๆ กัน โดยมีกลุ่มนี้เป็นตัวทำละลาย การวิเคราะห์โครงสร้างของสารประกอบอนุพันธ์ดินกอินทรีบอร์ต อาศัยเทคนิค ไอ อาร์ (IR), โปรตอน เอ็น เอ็ม อาร์ ($^1\text{H NMR}$), คาร์บอน 13 เอ็น เอ็ม อาร์ ($^{13}\text{C NMR}$), ดีบุก 119 เอ็น เอ็ม อาร์ และ บิรอน 11 เอ็น เอ็ม อาร์ ($^{11}\text{B NMR}$) สเปกโถร์สโคป และ การวิเคราะห์หาเบอร์เซ็นต์ราชุผลิตภัณฑ์ที่สังเคราะห์ได จะเห็นว่าอัตราส่วนจำนวนโมลของสารประกอบดินกอินทรี กับ กรรมบอริก หมู่แอลคลิล และ จำนวนของหมู่แอลคลิล นอกจานี้ยังพบว่า อัตราส่วนจำนวนโมลที่เหมาะสมในการทำปฏิกิริยาจะให้เบอร์เซ็นต์ผลิตภัณฑ์สูงสุด

CHADAPORN THAVORN PANICH KIJ : SYNTHESIS OF ORGANOTINBORATE
DERIVATIVES. THESIS ADVISOR : ASST. PROF. AMORN PETCHSOM
Ph.D. 180 pp.

Organotinborate compounds, tris-(trialkyltin) borate, bis-(trialkyltin) borate and trialkyltin borate were synthesized by the esterification of organotin compounds such as triphenyltin hydroxide (Ph_3SnOH) and/or bis-(tributyltin) oxide (TBTO) with boric acid $\text{B}(\text{OH})_3$ in various molar ratio. Tris-(dialkyltin) diborate, dialkyltin diborate and dialkyltin borate were synthesized by the esterification of organotin compound such as dialkyltin oxide (R_2SnO) where R = butyl- and/or octyl-group with boric acid in various molar ratio. Bis-(alkatetrabutylditin) diborate and alkakatetrabutylditin diborate were synthesized by the esterification of organoditin compounds such as 1,6-hexylene-bis-(dibutyltin) oxide and/or 1,4-butylene-bis-(dibutyltin) oxide with boric acid in various molar ratio, in refluxing toluene. The structure of organotinborate compounds were characterized by IR, $^1\text{H-NMR}$, $^{13}\text{C-NMR}$, $^{119}\text{Sn-NMR}$ and $^{11}\text{B-NMR}$ spectroscopic technics and elemental analysis. The products will depend on molar ratio of organotin compounds, alkyl group nature and amount of alkyl groups. Besides these, the appropriate molar ratio gave maximum yield of products.



กิตติกรรมประกาศ

ผู้วิจัยขอรับขอบพระคุณ ผู้ช่วยศาสตราจารย์ ดร.อมรา เพชรสุม อาจารย์ที่ปรึกษา
วิทยานิพนธ์ และขอรับขอบพระคุณ รองศาสตราจารย์ ดร.ไสว กะ เวิงสำราญ ตลอดจนคณาจารย์
ผู้ร่วมโครงการวิจัย สารประกอบดีบุกอินเกรียร์ ที่ได้กรุณาให้คำแนะนำ คำปรึกษา และความช่วยเหลือ
เป็นอย่างดียิ่งทั้งวิชาการและเครื่องมือที่ใช้ในการทดลอง ตลอดจนวิธีและขั้นตอนการทดลอง

ขอขอบพระคุณ ทุกอุดหนุนการวิจัยของบันทึกวิทยาลัย จุฬาลงกรณ์มหาวิทยาลัย และทุน
วิจัยบางส่วนจากสำนักงานคณะกรรมการการพัฒนาวิทยาศาสตร์และเทคโนโลยี ที่ร่วมกันสนับสนุนด้าน^{เงินทุน}เพื่อการวิจัยนี้

ขอขอบพระคุณ คุณวัฒนา นพคุณ และ คุณนิษมัย เสถียรยานนท์ จากสำนักงาน
ผลิตงานแห่งชาติ ที่ให้ความช่วยเหลือในการวิเคราะห์หาปริมาณยาตุ

ขอขอบคุณ เจ้าหน้าที่ศูนย์เครื่องมือจุฬาลงกรณ์มหาวิทยาลัย ที่ให้ความร่วมมือในการวิจัย
เป็นอย่างดียิ่ง

และขอขอบคุณเพื่อน น้อง นิติปริญญาโภเคนี และผู้ช่วยวิจัยโครงการวิจัยไอละ
ดีบุกอินเกรียร์ทุกท่านที่ให้ความร่วมมือ และช่วยเหลือตลอดการทดลอง

ศูนย์วิทยทรัพยากร
จุฬาลงกรณ์มหาวิทยาลัย

รายการตารางประกอบ

ตารางที่	หน้า
1. การละลายของสารประกอบดีบุกอินทรีย์ที่มีหมุนอินทรีย์สามหมู่.....	15
2. การนำสารประกอบดีบุกอินทรีย์ไปใช้ประโยชน์ในทางอุตสาหกรรม.....	18
3. สารประกอบดีบุกอินทรีย์ที่เป็นพิษ.....	20
3.1 คุณสมบัติทางกายภาพและเบอร์เขี้น์ต์ผลผลิตของสารประกอบอนุพันธ์ดีบุกอินทรีย์ บนเรากีสังเคราะห์จาก Ph_3SnOH กับ $\text{B}(\text{OH})_3$ ในอัตราส่วน จำนวนไมลต่าง ๆ กัน.....	40
3.2 ปริมาณธาตุในสารประกอบอนุพันธ์ดีบุกอินทรีย์บนเรากีสังเคราะห์จาก Ph_3SnOH กับ $\text{B}(\text{OH})_3$ ในอัตราส่วนจำนวนไมลต่าง ๆ กัน.....	41
3.3 คุณสมบัติทางกายภาพและเบอร์เขี้น์ต์ผลผลิตของสารประกอบอนุพันธ์ดีบุกอินทรีย์ บนเรากีสังเคราะห์จาก TBTO กับ $\text{B}(\text{OH})_3$ ในอัตราส่วน จำนวนไมลต่าง ๆ กัน.....	42
3.4 ปริมาณธาตุในสารประกอบอนุพันธ์ดีบุกอินทรีย์บนเรากีสังเคราะห์จาก TBTO กับ $\text{B}(\text{OH})_3$ ในอัตราส่วนจำนวนไมลต่าง ๆ กัน.....	43
3.5 คุณสมบัติทางกายภาพและเบอร์เขี้น์ต์ผลผลิตของสารประกอบอนุพันธ์ดีบุกอินทรีย์ บนเรากีสังเคราะห์จาก Bu_2SnO ในอัตราส่วนจำนวนไมลต่าง ๆ กัน.....	44
3.6 ปริมาณธาตุในสารประกอบอนุพันธ์ดีบุกอินทรีย์บนเรากีสังเคราะห์จาก Bu_2SnO ในอัตราส่วนจำนวนไมลต่าง ๆ กัน.....	45
3.7 คุณสมบัติทางกายภาพและเบอร์เขี้น์ต์ผลผลิตของสารประกอบอนุพันธ์ดีบุกอินทรีย์ บนเรากีสังเคราะห์จาก Oc_2SnO ในอัตราส่วนจำนวนไมลต่าง ๆ กัน.....	46
3.8 ปริมาณธาตุในสารประกอบอนุพันธ์ดีบุกอินทรีย์บนเรากีสังเคราะห์จาก Oc_2SnO ในอัตราส่วนจำนวนไมลต่าง ๆ กัน.....	47
3.9 คุณสมบัติทางกายภาพและเบอร์เขี้น์ต์ผลผลิตของสารประกอบอนุพันธ์ดีบุกอินทรีย์ บนเรากีสังเคราะห์จาก $(\text{Bu}_2\text{SnHexSnBu}_2^-)_2\text{O}$ ในอัตราส่วน จำนวนไมลต่าง ๆ กัน.....	48
3.10 ปริมาณธาตุในสารประกอบอนุพันธ์ดีบุกอินทรีย์บนเรากีสังเคราะห์จาก $(\text{Bu}_2\text{SnHexSnBu}_2^-)_2\text{O}$ ในอัตราส่วนจำนวนไมลต่าง ๆ กัน.....	48

รายการตารางประกอบ (ต่อ)

ตารางที่	หน้า
3.11 คุณสมบัติทางกายภาพและเปอร์เซ็นต์ผลผลิตของสารประกอบอนุพันธ์ดินกุอกินกรี๊ย บอเรที่สังเคราะห์จาก $(Bu_2SnBuSnBu_2^-)_2-O$ ในอัตราส่วน จำนวนโมลต่าง ๆ กัน.....	49
3.12 ปริมาณชาตุในสารประกอบอนุพันธ์ดินกุอกินกรี๊ยบอเรที่สังเคราะห์จาก $(Bu_2SnBuSnBu_2^-)_2-O$ ในอัตราส่วนจำนวนโมลต่าง ๆ กัน.....	49
3.13 อินฟราเรดスペกตรัมของสารประกอบอนุพันธ์ดินกุอกินกรี๊ยบอเรที่สังเคราะห์ จาก Ph_3SnOH กับ $B(OH)_3$	52
3.14 อินฟราเรดスペกตรัมของสารประกอบอนุพันธ์ดินกุอกินกรี๊ยบอเรที่สังเคราะห์ จาก TBTO กับ $B(OH)_3$	54
3.15 อินฟราเรดスペกตรัมของสารประกอบอนุพันธ์ดินกุอกินกรี๊ยบอเรที่สังเคราะห์ จาก Bu_2SnO กับ $B(OH)_3$	57
3.16 อินฟราเรดスペกตรัมของสารประกอบอนุพันธ์ดินกุอกินกรี๊ยบอเรที่สังเคราะห์ จาก Oc_2SnO กับ $B(OH)_3$	60
3.17 อินฟราเรดスペกตรัมของสารประกอบอนุพันธ์ดินกุอกินกรี๊ยบอเรที่สังเคราะห์ จาก $(Bu_2SnHexSnBu_2^-)_2-O$ กับ $B(OH)_3$	62
3.18 อินฟราเรดスペกตรัมของสารประกอบอนุพันธ์ดินกุอกินกรี๊ยบอเรที่สังเคราะห์ จาก $(Bu_2SnBuSnBu_2^-)_2-O$ กับ $B(OH)_3$	63
3.19 1H , ^{13}C , ^{119}Sn และ ^{11}B NMR สเปกตรากองสารประกอบดินกุอกินกรี๊ยบอเรท ที่สังเคราะห์จาก Ph_3SnOH กับ $B(OH)_3$	67
3.20 1H , ^{13}C , ^{119}Sn และ ^{11}B NMR สเปกตรากองสารประกอบดินกุอกินกรี๊ยบอเรท ที่สังเคราะห์จาก TBTO กับ $B(OH)_3$	69
3.21 1H , ^{13}C , ^{119}Sn และ ^{11}B NMR สเปกตรากองสารประกอบดินกุอกินกรี๊ยบอเรท ที่สังเคราะห์จาก Bu_2SnO กับ $B(OH)_3$	71
3.22 1H , ^{13}C , ^{119}Sn และ ^{11}B NMR สเปกตรากองสารประกอบดินกุอกินกรี๊ยบอเรท ที่สังเคราะห์จาก Oc_2SnO กับ $B(OH)_3$	72

รายการตารางประกอบ (ต่อ)

ตารางที่	หน้า
3.23 ^1H , ^{13}C , ^{119}Sn และ ^{11}B NMR สเปกตร้าของสารประกอบดีบุกอินทรีย์บนเรซ ที่สังเคราะห์จาก $(\text{Bu}_2\text{SnHexSnBu}_2^-)_2\text{-O}$ กับ $\text{B}(\text{OH})_3$	74
3.24 ^1H , ^{13}C , ^{119}Sn และ ^{11}B NMR สเปกตร้าของสารประกอบดีบุกอินทรีย์บนเรซ ที่สังเคราะห์จาก $(\text{Bu}_2\text{SnBuSnBu}_2^-)_2\text{-O}$ กับ $\text{B}(\text{OH})_3$	74

ศูนย์วิทยทรัพยากร
จุฬาลงกรณ์มหาวิทยาลัย

รายการรับประทาน

รายการรับประโภต (ต่อ)

รายการรูปประกอบ (ต่อ)

รูปที่		หน้า
ก.27	แสดงอินฟราเรดสเปกตรัมของสารประกอบอนุพันธ์ดีบุกอินทรีย์บนเรแทคท์สีฟ้าที่สังเคราะห์จาก Oc_2SnO กับ $B(OH)_3$ ในอัตราส่วนจำนวนโมล 3:1	122
ก.28	แสดงอินฟราเรดสเปกตรัมของสารประกอบอนุพันธ์ดีบุกอินทรีย์บนเรแทคท์สีฟ้าที่สังเคราะห์จาก Oc_2SnO กับ $B(OH)_3$ ในอัตราส่วนจำนวนโมล 3:2	123
ก.29	แสดงอินฟราเรดสเปกตรัมของสารประกอบอนุพันธ์ดีบุกอินทรีย์บนเรแทคท์สีฟ้าที่สังเคราะห์จาก $(Bu_2SnHexSnBu_2-)_2-O$ กับ $B(OH)_3$ ในอัตราส่วนจำนวนโมล 1:1	124
ก.30	แสดงอินฟราเรดสเปกตรัมของสารประกอบอนุพันธ์ดีบุกอินทรีย์บนเรแทคท์สีฟ้าที่สังเคราะห์จาก $(Bu_2SnHexSnBu_2-)_2-O$ กับ $B(OH)_3$ ในอัตราส่วนจำนวนโมล 1:2	125
ก.31	แสดงอินฟราเรดสเปกตรัมของสารประกอบอนุพันธ์ดีบุกอินทรีย์บนเรแทคท์สีฟ้าที่สังเคราะห์จาก $(Bu_2SnHexSnBu_2-)_2-O$ กับ $B(OH)_3$ ในอัตราส่วนจำนวนโมล 3:2	126
ก.32	แสดงอินฟราเรดสเปกตรัมของสารประกอบอนุพันธ์ดีบุกอินทรีย์บนเรแทคท์สีฟ้าที่สังเคราะห์จาก $(Bu_2SnBuSnBu_2-)_2-O$ กับ $B(OH)_3$ ในอัตราส่วนจำนวนโมล 1:1	127
ก.33	แสดงอินฟราเรดสเปกตรัมของสารประกอบอนุพันธ์ดีบุกอินทรีย์บนเรแทคท์สีฟ้าที่สังเคราะห์จาก $(Bu_2SnBuSnBu_2-)_2-O$ กับ $B(OH)_3$ ในอัตราส่วนจำนวนโมล 1:2	128
ก.34	แสดงอินฟราเรดสเปกตรัมของสารประกอบอนุพันธ์ดีบุกอินทรีย์บนเรแทคท์สีฟ้าที่สังเคราะห์จาก $(Bu_2SnBuSnBu_2-)_2-O$ กับ $B(OH)_3$ ในอัตราส่วนจำนวนโมล 3:2	129
ก.1	แสดง 1H NMR สเปกตรัมของสารประกอบอนุพันธ์ดีบุกอินทรีย์บนเรแทคท์สีฟ้าที่สังเคราะห์จาก Ph_3SnOH กับ $B(OH)_3$ ในอัตราส่วนจำนวนโมล 1:1 ...	130
ก.2	แสดง 1H NMR สเปกตรัมของสารประกอบอนุพันธ์ดีบุกอินทรีย์บนเรแทคท์สีฟ้าที่สังเคราะห์จาก Ph_3SnOH กับ $B(OH)_3$ ในอัตราส่วนจำนวนโมล 1:2 ...	131

รายการรับประโภค (ต่อ)

รายการรับประทาน (ต่อ)

รายการรูปประกอบ (ต่อ)

รูปที่	หน้า
III.29 แสดง ^1H NMR สเปกตรัมของสารประกอบอนุพันธ์ดีบุกอินทรีย์บนกราฟที่สังเคราะห์จาก $(\text{Bu}_2\text{SnHexSnBu}_2^-)_2\text{-O}$ กับ $\text{B}(\text{OH})_3$ ในอัตราส่วนจำนวนโมล 1:1	156
III.30 แสดง ^1H NMR สเปกตรัมของสารประกอบอนุพันธ์ดีบุกอินทรีย์บนกราฟที่สังเคราะห์จาก $(\text{Bu}_2\text{SnBuSnBu}_2^-)_2\text{-O}$ กับ $\text{B}(\text{OH})_3$ ในอัตราส่วนจำนวนโมล 1:2	157
III.31 แสดง ^1H NMR สเปกตรัมของสารประกอบอนุพันธ์ดีบุกอินทรีย์บนกราฟที่สังเคราะห์จาก $(\text{Bu}_2\text{SnBuSnBu}_2^-)_2\text{-O}$ กับ $\text{B}(\text{OH})_3$ ในอัตราส่วนจำนวนโมล 3:2	157
C.1 แสดง ^{13}C NMR สเปกตรัมของสารประกอบอนุพันธ์ดีบุกอินทรีย์บนกราฟที่สังเคราะห์จาก Ph_3SnOH กับ $\text{B}(\text{OH})_3$ ในอัตราส่วนจำนวนโมล 1:1 ...	130
C.2 แสดง ^{13}C NMR สเปกตรัมของสารประกอบอนุพันธ์ดีบุกอินทรีย์บนกราฟที่สังเคราะห์จาก Ph_3SnOH กับ $\text{B}(\text{OH})_3$ ในอัตราส่วนจำนวนโมล 1:2 ...	131
C.3 แสดง ^{13}C NMR สเปกตรัมของสารประกอบอนุพันธ์ดีบุกอินทรีย์บนกราฟที่สังเคราะห์จาก Ph_3SnOH กับ $\text{B}(\text{OH})_3$ ในอัตราส่วนจำนวนโมล 1:3 ...	132
C.4 แสดง ^{13}C NMR สเปกตรัมของสารประกอบอนุพันธ์ดีบุกอินทรีย์บนกราฟที่สังเคราะห์จาก Ph_3SnOH กับ $\text{B}(\text{OH})_3$ ในอัตราส่วนจำนวนโมล 2:1 ...	133
C.5 แสดง ^{13}C NMR สเปกตรัมของสารประกอบอนุพันธ์ดีบุกอินทรีย์บนกราฟที่สังเคราะห์จาก Ph_3SnOH กับ $\text{B}(\text{OH})_3$ ในอัตราส่วนจำนวนโมล 2:3 ...	134
C.6 แสดง ^{13}C NMR สเปกตรัมของสารประกอบอนุพันธ์ดีบุกอินทรีย์บนกราฟที่สังเคราะห์จาก Ph_3SnOH กับ $\text{B}(\text{OH})_3$ ในอัตราส่วนจำนวนโมล 3:1 ...	135
C.7 แสดง ^{13}C NMR สเปกตรัมของสารประกอบอนุพันธ์ดีบุกอินทรีย์บนกราฟที่สังเคราะห์จาก Ph_3SnOH กับ $\text{B}(\text{OH})_3$ ในอัตราส่วนจำนวนโมล 3:2 ...	136
C.8 แสดง ^{13}C NMR สเปกตรัมของสารประกอบอนุพันธ์ดีบุกอินทรีย์บนกราฟที่สังเคราะห์จาก TBTO กับ $\text{B}(\text{OH})_3$ ในอัตราส่วนจำนวนโมล 1:1	137

รายการรูปประกอบ (ต่อ)

รายการรูปประกอบ (ต่อ)

รูปที่	หน้า
ค.22 แสดง ^{13}C NMR สเปกตรัมของสารประกอบอนุพันธ์ดีบุกอินทรีย์บนกราฟ ที่สังเคราะห์จาก Oc_2SnO กับ $\text{B}(\text{OH})_3$ ในอัตราส่วนจำนวนโมล 2:1	152
ค.23 แสดง ^{13}C NMR สเปกตรัมของสารประกอบอนุพันธ์ดีบุกอินทรีย์บนกราฟ ที่สังเคราะห์จาก Oc_2SnO กับ $\text{B}(\text{OH})_3$ ในอัตราส่วนจำนวนโมล 2:3	153
ค.24 แสดง ^{13}C NMR สเปกตรัมของสารประกอบอนุพันธ์ดีบุกอินทรีย์บนกราฟ ที่สังเคราะห์จาก Oc_2SnO กับ $\text{B}(\text{OH})_3$ ในอัตราส่วนจำนวนโมล 3:2	155
ค.25 แสดง ^{13}C NMR สเปกตรัมของสารประกอบอนุพันธ์ดีบุกอินทรีย์บนกราฟ ที่สังเคราะห์จาก $(\text{Bu}_2\text{SnHexSnBu}_2-)_2\text{-O}$ กับ $\text{B}(\text{OH})_3$ ในอัตราส่วนจำนวนโมล 1:1	156
ง.1 แสดง ^{119}Sn NMR สเปกตรัมของสารประกอบอนุพันธ์ดีบุกอินทรีย์บนกราฟ ที่สังเคราะห์จาก Ph_3SnOH กับ $\text{B}(\text{OH})_3$ ในอัตราส่วนจำนวนโมล 1:1 ...	158
ง.2 แสดง ^{119}Sn NMR สเปกตรัมของสารประกอบอนุพันธ์ดีบุกอินทรีย์บนกราฟ ที่สังเคราะห์จาก Ph_3SnOH กับ $\text{B}(\text{OH})_3$ ในอัตราส่วนจำนวนโมล 1:2 ...	159
ง.3 แสดง ^{119}Sn NMR สเปกตรัมของสารประกอบอนุพันธ์ดีบุกอินทรีย์บนกราฟ ที่สังเคราะห์จาก Ph_3SnOH กับ $\text{B}(\text{OH})_3$ ในอัตราส่วนจำนวนโมล 1:3 ...	160
ง.4 แสดง ^{119}Sn NMR สเปกตรัมของสารประกอบอนุพันธ์ดีบุกอินทรีย์บนกราฟ ที่สังเคราะห์จาก Ph_3SnOH กับ $\text{B}(\text{OH})_3$ ในอัตราส่วนจำนวนโมล 2:1 ...	161
ง.5 แสดง ^{119}Sn NMR สเปกตรัมของสารประกอบอนุพันธ์ดีบุกอินทรีย์บนกราฟ ที่สังเคราะห์จาก Ph_3SnOH กับ $\text{B}(\text{OH})_3$ ในอัตราส่วนจำนวนโมล 2:3 ...	162
ง.6 แสดง ^{119}Sn NMR สเปกตรัมของสารประกอบอนุพันธ์ดีบุกอินทรีย์บนกราฟ ที่สังเคราะห์จาก Ph_3SnOH กับ $\text{B}(\text{OH})_3$ ในอัตราส่วนจำนวนโมล 3:1 ...	163
ง.7 แสดง ^{119}Sn NMR สเปกตรัมของสารประกอบอนุพันธ์ดีบุกอินทรีย์บนกราฟ ที่สังเคราะห์จาก Ph_3SnOH กับ $\text{B}(\text{OH})_3$ ในอัตราส่วนจำนวนโมล 3:2 ...	164
ง.8 แสดง ^{119}Sn NMR สเปกตรัมของสารประกอบอนุพันธ์ดีบุกอินทรีย์บนกราฟ ที่สังเคราะห์จาก TBTO กับ $\text{B}(\text{OH})_3$ ในอัตราส่วนจำนวนโมล 1:1	165

รายการรับประทาน (ต่อ)

รายการรูปประกอบ (ต่อ)

รูปที่	หน้า
๗.๘ แสดง ^{11}B NMR สเปกตรัมของสารประกอบอนุพันธ์ดีบุกอินทรีย์บนเรขา ที่สังเคราะห์จาก TBTO กับ B(OH)_3 ในอัตราส่วนจำนวนโมล 1:1	165
๗.๙ แสดง ^{11}B NMR สเปกตรัมของสารประกอบอนุพันธ์ดีบุกอินทรีย์บนเรขา ที่สังเคราะห์จาก TBTO กับ B(OH)_3 ในอัตราส่วนจำนวนโมล 1:2	166
๗.๑๐ แสดง ^{11}B NMR สเปกตรัมของสารประกอบอนุพันธ์ดีบุกอินทรีย์บนเรขา ที่สังเคราะห์จาก TBTO กับ B(OH)_3 ในอัตราส่วนจำนวนโมล 1:3	167
๗.๑๑ แสดง ^{11}B NMR สเปกตรัมของสารประกอบอนุพันธ์ดีบุกอินทรีย์บนเรขา ที่สังเคราะห์จาก TBTO กับ B(OH)_3 ในอัตราส่วนจำนวนโมล 2:1	168
๗.๑๒ แสดง ^{11}B NMR สเปกตรัมของสารประกอบอนุพันธ์ดีบุกอินทรีย์บนเรஹ ที่สังเคราะห์จาก TBTO กับ B(OH)_3 ในอัตราส่วนจำนวนโมล 2:3	169
๗.๑๓ แสดง ^{11}B NMR สเปกตรัมของสารประกอบอนุพันธ์ดีบุกอินทรีย์บนเรஹ ที่สังเคราะห์จาก TBTO กับ B(OH)_3 ในอัตราส่วนจำนวนโมล 3:1	170
๗.๑๔ แสดง ^{11}B NMR สเปกตรัมของสารประกอบอนุพันธ์ดีบุกอินทรีย์บนเรஹ ที่สังเคราะห์จาก TBTO กับ B(OH)_3 ในอัตราส่วนจำนวนโมล 3:2	171
๗.๑๕ แสดง ^{11}B NMR สเปกตรัมของสารประกอบอนุพันธ์ดีบุกอินทรีย์บนเรஹ ที่สังเคราะห์จาก OC_2SnO กับ B(OH)_3 ในอัตราส่วนจำนวนโมล 2:1	172
๗.๑๖ แสดง ^{11}B NMR สเปกตรัมของสารประกอบอนุพันธ์ดีบุกอินทรีย์บนเรஹ ที่สังเคราะห์จาก OC_2SnO กับ B(OH)_3 ในอัตราส่วนจำนวนโมล 2:3	172
๗.๑๗ แสดง ^{11}B NMR สเปกตรัมของสารประกอบอนุพันธ์ดีบุกอินทรีย์บนเรஹ ที่สังเคราะห์จาก OC_2SnO กับ B(OH)_3 ในอัตราส่วนจำนวนโมล 3:1	173
๗.๑๘ แสดง ^{11}B NMR สเปกตรัมของสารประกอบอนุพันธ์ดีบุกอินทรีย์บนเรஹ ที่สังเคราะห์จาก $(\text{Bu}_2\text{SnHexSnBu}_2^-)_2\text{-O}$ กับ B(OH)_3 ในอัตราส่วนจำนวนโมล 1:1	174
๗.๑๙ แสดง ^{11}B NMR สเปกตรัมของสารประกอบอนุพันธ์ดีบุกอินทรีย์บนเรஹ ที่สังเคราะห์จาก $(\text{Bu}_2\text{SnBuSnBu}_2^-)_2\text{-O}$ กับ B(OH)_3 ในอัตราส่วนจำนวนโมล 1:1	174

คำอธิบายสัญลักษณ์ และ คำย่อ

R	= หมู่แอลกิล หรือ อะรีล
Et	= หมู่เอธิล
Bu	= หมู่บิวทิล
Oc	= หมู่ออกทิล
Ph	= หมู่เฟนิล
TBTO	= บิส-(ไตรบิวทิลทิน) ออกไซด์
Bu ₂ SnO	= ไดบิวทิลทิน ออกไซด์
Oc ₂ SnO	= ไดออกทิลทิน ออกไซด์
Ph ₃ SnOH	= ไตรเฟนิลทิน ไฮดรอกไซด์
(Bu ₂ SnBuSnBu ₂ -) ₂ -O	= 1,6-เชกซิลีน-บิส-ไดบิวทิลทิน ออกไซด์
(Bu ₂ SnHexSnBu ₂ -) ₂ -O	= 1,4-บิวทิลีน-บิส-ไดบิวทิลทิน ออกไซด์

ศูนย์วิทยทรัพยากร
จุฬาลงกรณ์มหาวิทยาลัย